

## برآورد بیشترین ژرفای آبشنستگی در پیرامون پایه‌های پل با بهره‌وری از شبکه‌های وايازی کلي و پرسپترون چند لایه‌ای

جواد ظهیری<sup>\*</sup>، مناچي ظهیری<sup>۲</sup>، میثم سالاری جزي<sup>۳</sup>

تاریخ دریافت: ۱۳۹۰/۱۱/۲۳ تاریخ پذیرش: ۱۳۹۱/۶/۲۰

### چکیده

در این مطالعه، شبکه‌های وايازی کلي (GRNN) و پرسپترون چند لایه‌ای (MLP) برای برآورد بیشترین ژرفای آبشنستگی مورد بهره‌وری قرار گرفتند. الگوريتم‌های Momentum و Levenberg-Marquardt و Sigmoid نيز به عنوان الگوريتم‌های آموزشی، و دوتابع Tanh و استفاده از شبکه‌های مختلف شبکه‌ی عصبی به کار رفته‌اند. تاکنون مطالعات گسترده‌ای در زمينه‌ی استفاده از شبکه‌های مختلف شبکه‌ی عصبی جهت برآورد بیشترین ژرفای آبشنستگی اطراف پایه‌های پل، و استفاده از اطلاعات آزمایشگاهی برای ساختن شبکه‌ها از مهمترین کاستی‌های مطالعات استوانه‌ای به عنوان پایه‌های پل، و استفاده از اطلاعات آزمایشگاهی برای ساختن شبکه‌ها از مهمترین کاستی‌های مطالعات صورت گرفته در زمينه‌ی برآورد بیشترین ژرفای آبشنستگی اطراف پایه‌های پل به حساب می‌آيند. بر همين اساس، در اين پژوهش علاوه بر شكل استوانه‌ای از اشكال مستطيلى، گرد گوش و نوك تيز استفاده شده است. همچنین برای ساختن و صحبت‌سننجي شبکه‌ها از اطلاعات واقعی، كه مشتمل بر ۴۷۵ داده‌ی مربوط به آبشنستگی اطراف پایه‌های پل بوده بهره‌وری شده است. در اين پژوهش، بر خلاف پژوهش‌های گذشته که از روش آزمون و لغزش برای تعیین شمار نرون‌های لایه‌ی مخفی استفاده می‌شد، از الگوريتم ژنتيك جهت اين منظور بهره‌وری گرددیده است. نتایج مقایسه‌ی شبکه‌های مختلف عصبی نشان‌دهنده‌ی دقیق بیشتر شبکه GRNN بوده است. برای بررسی كارآيی این شبکه از معادلات تجربی موجود نيز استفاده شده، که از جمله می‌توان به روابط بروسرز و همكاران، فروهليج، ملويل و ملويل، و چيو اشاره کرد. نتایج شبکه‌های مختلف نشان دادند که شبکه عصبی ارائه شده از كارآيی بهتری نسبت به روابط موجود برخوردار است. جهت تعیین تأثير فراسنج‌های مختلف بر آبشنستگی از تحلیل حساسیت استفاده شد. نتایج این تحلیل نشان دادند که فراسنج سرعت نسبت به دیگر فراسنج‌های مستقل بیشترین تأثير را بر آبشنستگی اطراف پایه‌های پل دارد.

**واژه‌های کلیدی:** شبکه‌های وايازی کلي، ژرفای آبشنستگی، پایه‌های پل، الگوريتم ژنتيك، تحلیل حساسیت

<sup>۱</sup>- مدرس دانشگاه آزاد اسلامی واحد اميدیه و دانشجوی دکتری سازه‌های آبی دانشگاه شهید چمران اهواز

<sup>۲</sup>- عضو هیأت علمی دانشگاه آزاد اسلامی واحد اميدیه

<sup>۳</sup>- دانشجوی دکتری هيدرولوژي دانشگاه شهید چمران اهواز

\* - نويسنده مسئول: J-Zahiri@scu.ac.ir

بهره‌وری در این تحقیقات می‌باشد، چه، اکثرًا از اطلاعات آزمایشگاهی جهت ساختن شبیه‌های عصبی استفاده شده است و با توجه به این که شرایط طبیعی تفاوت‌های عمده‌ای با شرایط آزمایشگاهی دارند، نمی‌توان به دقت این شبیه‌ها در موارد عملی اطمینان کامل داشت. مشکل دوم آن که شکل پایه همواره به صورت استوانه‌ای فرض شده است و با توجه به این که شکل پایه از جمله عوامل مؤثر بر بیشترین ژرفای آبشتگی در اطراف پایه‌های پل به حساب می‌آید، نمی‌توان از شبیه‌های عصبی ارائه شده برای پایه‌هایی با شکل‌های مختلف استفاده کرد. بر همین اساس، در این پژوهش به جای اطلاعات آزمایشگاهی از اطلاعات میدانی جهت آموزش و صحبت‌سنجی شبیه‌ها استفاده شد. از طرف دیگر، شکل پایه در این پژوهش به عنوان یک متغیر در نظر گرفته شده است. شکلهایی که در این پژوهش مورد استفاده قرار گرفته‌اند طیف وسیعی را از پایه‌های پل موجود، از قبیل استوانه‌ای، مستطیلی، گرد گوش و لبه تیز شامل می‌شوند.

### شبکه‌های عصبی مصنوعی

شبکه‌ی عصبی از تعداد زیادی اجزاء ساده محاسباتی، که به آنها نرون گفته می‌شود، تشکیل می‌گردد. در حالت کلی، شبکه‌ی عصبی را می‌توان به عنوان یک سامانه یا شبیه ریاضی دانست که از تعداد زیادی اجزاء عصبی غیر خطی در یک یا چند لایه تشکیل شده باشد (فیرات و گنگور، ۲۰۰۹). بیشتر شبکه‌های عصبی از سه لایه تشکیل می‌شوند: لایه‌های ورودی، خروجی و پنهان. داده‌ها به شکل فراسنجهای ورودی و خروجی به شبکه معرفی شده، و بهترین رابطه‌ی غیر خطی با حداقل کردن خطا به دست می‌آید. در حقیقت، شبکه‌ی عصبی به مانند تحلیل‌های وایازی انواع مختلفی از روابط را جهت پیدا کردن بهترین انطباق مورد آزمایش قرار می‌دهد. تجربه نشان داده است که شبکه‌ی هرگز به آن دقتی که در مورد مجموعه‌ی آموزش عمل می‌کند، در مورد بقیه مجموعه‌ی عمل نمی‌کند. این پدیده می‌باشد آموزش زیادی<sup>۱</sup> شناخته، و بیان می‌شود که شبکه‌ی برای داده آموزشی برازش زیادی<sup>۲</sup> دارد (پیکتن،

### مقدمه

فرایند آبشتگی اطراف پایه‌های پل پدیده‌ای بسیار پیچیده بوده که این امر به دلیل غامض بودن شرایط هیدرولیکی جریان و تهنشست در مکان مزبور می‌باشد. تا کنون پژوهش‌های پرشماری در زمینه‌ی برآورد ژرفای آبشتگی در اطراف پایه‌های پل صورت گرفته‌اند که از مهمترین آنها می‌توان به ملویل و ساترلند (۱۹۸۸)، ملویل و رادکیوی (۱۹۹۶)، پارولا و همکاران (۱۹۹۶)، لیم و چنگ (۱۹۹۸)، میا و ناگو (۲۰۰۳) و شپرد و همکاران (۲۰۰۴) اشاره کرد. هر چند تا کنون مطالعات گسترده‌ای در این زمینه‌ی صورت گرفته، و روابط پرشماری نیز ارائه شده‌اند، ولی به علت پیچیدگی بیش از حد این پدیده این مطالعات هنوز هم ادامه دارند. روابط ارائه شده، که بیشتر آنها بر پایه‌ی داده‌های آزمایشگاهی به دست آمده‌اند، تنها در بعضی شرایط از دقت قابل قبولی برخوردارند. پیچیدگی پدیده آبشتگی در اطراف پایه‌های پل باعث شده است که پژوهشگران از روشهای دیگری برای شبیه‌سازی آن استفاده کنند، که یکی از آنها بهره‌وری از شبکه‌های عصبی مصنوعی است. دلالت داشتن فراسنجهای پرشمار در پدیده آبشتگی باعث گردیده است که شبکه‌های شبکه‌ی عصبی جوابهای دقیقتری نسبت به شبیه‌های تجربی ارائه نمایند. این امر در پژوهش‌های صورت گرفته به وسیله‌ی بعضی از پژوهشگران، از جمله باتنی و همکاران (۲۰۰۶) و فیرات و گنگور (۲۰۰۹) کاملاً به چشم می‌خورد. باتنی و همکاران (۲۰۰۶) کوشش کرده‌اند با استفاده از شبیه‌های عصبی به برآورد بیشترین ژرفای آبشتگی در اطراف پایه‌های استوانه‌ای بپردازنند. این پژوهشگران نتایج شبیه خود را با روابط تجربی متداول مقایسه نموده، و دریافتند که کارآیی شبکه عصبی بیش از دیگر شبکه‌های متداول می‌باشد. فیرات و گنگور (۲۰۰۹)، با استفاده از شبکه‌های وایازی کلی و شبکه‌های پس خور اقدام به همانند سازی ژرفای چاله‌ی آبشتگی نمودند.

متأسفانه، کلیه‌ی تحقیقات صورت گرفته در زمینه‌ی استفاده از شبکه‌های عصبی در تخمین ژرفای آبشتگی اطراف پایه‌های پل دارای دو کاستی عمدی می‌باشند: دشواری نخست مربوط به داده‌های مورد

<sup>1</sup>-over-training

<sup>2</sup>-over-fit

چگالی احتمال توأم، یعنی احتمال این‌که خروجی  $y$  و ورودی  $x$  باشد، است. به همان طریقی که توابع چگالی احتمال در PNN با مجموع توابع گوسی برآورده شد، می‌توان تابع احتمال شرطی را نیز تقریب زد. این امر با قرار دادن مرکز تابع گوسی بر روی داده ورودی در یک مجموعه آموزشی، و ضرب آن در مقدار خروجی متناظر انجام می‌شود. پس از عملیات مختصراً، معادله فوق را می‌توان با معادله زیر تقریب زد:

$$y = \frac{\sum_{p=1}^P y_p \exp(-d_p^2 / 2\sigma^2)}{\sum_{p=1}^P \exp(-d_p^2 / 2\sigma^2)} \quad (2)$$

در این معادله فرض شده است که  $P$  داده در مجموعه آموزشی وجود دارد. هر یک از داده‌ها از یک زوج آموزشی شامل بردار ورودی،  $x_{1p}, x_{2p}$  تا  $x_{np}$  و مقدار خروجی متناظر،  $y_p$ ، تشکیل شده است. مقدار  $d_p$  فاصله‌ی بین بردار ورودی کنونی و بردار ورودی  $p$  ام در داده‌های آموزشی است. برای یک بردار ورودی معین، فاصله‌ی آن بردار با تمام بردارهای ورودی در مجموعه آموزشی محاسبه شده و به یک تابع گوسی با مرکزیت بردارهای ورودی مجموعه آموزشی داده می‌شود. در مخرج کسر، خروجی‌های این توابع گوسی برای به‌دست آوردن مجموع، جمع زده می‌شوند. در صورت کسر، خروجی‌های توابع گوسی با مقدار مربوطه  $y$  از مجموعه آموزشی وزن دار شده و جمع زده می‌شود. در اینجا نیز مانند شبکه‌ی‌های عصبی احتمالی، توابع گوسی با استفاده از معادله‌ی زیر، که در آن  $b$  مقداری بین ۰ و ۱ است، بدست می‌آید:

$$\sigma = \alpha P^{-b/n} \quad (3)$$

از نظر معماری نیز شبکه‌ی عصبی GRNN شباهت زیادی به شبکه‌ی عصبی احتمالی دارد، به استثناء این‌که وزنها در لایه‌ی خروجی برابر با ۱ قرار داده نمی‌شوند. در عوض، این وزنها برابر با مقادیر متناظر خروجی  $y$  در مجموعه‌ی آموزشی قرار داده می‌شوند. علاوه بر آن، مجموع خروجی‌های لایه‌ی گوسی باید محاسبه شود تا بتوان خروجی نهایی را بر آن تقسیم کرد.

۱۳۸۸). جهت جلوگیری از این مشکل درصدی از داده‌های مورد استفاده به عنوان مجموعه‌ی آزمون<sup>۱</sup> در نظر گرفته شد. بر این اساس، مجموعه‌ی داده به سه مجموعه‌ی آموزش، مجموعه‌ی آزمون و مجموعه‌ی تأیید تقسیم شدند. آموزش با استفاده از مجموعه‌ی آموزشی انجام گرفته، و خطای برای تنظیم وزنها به کار گرفته می‌شود. با این وجود، در حین آموزش، داده‌ی آزمون نیز به شبکه‌ی نشان داده شده و خطای ثبت می‌گردد. فرق داده‌های آزمون با آموزش در این است که هنگامی که داده‌های آزمون به شبکه‌ی نشان داده می‌شوند، وزنها تنظیم نمی‌گردند، بلکه فقط پس از نشان دادن داده‌ی آموزشی به شبکه‌ی، و با استفاده از پس انتشار، وزنها تنظیم می‌گردند. بر این اساس، در حین فرایند آموزش، علاوه بر این خطای داده آموزش کاهش می‌یابد، می‌بایستی خطای داده‌ی آزمون نیز کاهش یابد. در مرحله‌ای که کاهش خطای داده‌ی آزمون متوقف شود، و یا افزایش یابد، می‌بایستی فرایند آموزش متوقف گردد.

### شبکه‌های شبکه‌ی عصبی

#### شبکه‌ی عصبی وایازی کلی (GRNN)<sup>۲</sup>

شبکه‌ی عصبی وایازی کلی، به‌وسیله‌ی دونالد اسپیکت (۱۹۹۱) برای شبیه‌سازی و تشخیص سامانه ابداع شد، و می‌توان آن را به عنوان تعمیمی از شبکه‌ی عصبی احتمالی تلقی کرد. شبکه‌ی عصبی احتمالی خصوصاً برای طبقه‌بندی الگو به کار گرفته می‌شود، در حالی که، GRNN کاربردهای وسیعتری دارد. مقصود از GRNN این است که بتوان هر تابع معلومی را به‌وسیله‌ی مجموعه‌ای از زوجهای داده و خروجی تقریب زد. با فرض این‌که یک تابع  $n$  ورودی،  $x_1, x_n$ ، و یک خروجی،  $y$ ، دارد، مقدار میانگین خروجی با یک ورودی معین را می‌توان با استفاده از نظریه‌ی احتمال از معادله زیر به‌دست آورد:

$$y(x) = \frac{\int_{-\infty}^{+\infty} y \text{pdf}(x, y) dy}{\text{pdf}(x)} \quad (1)$$

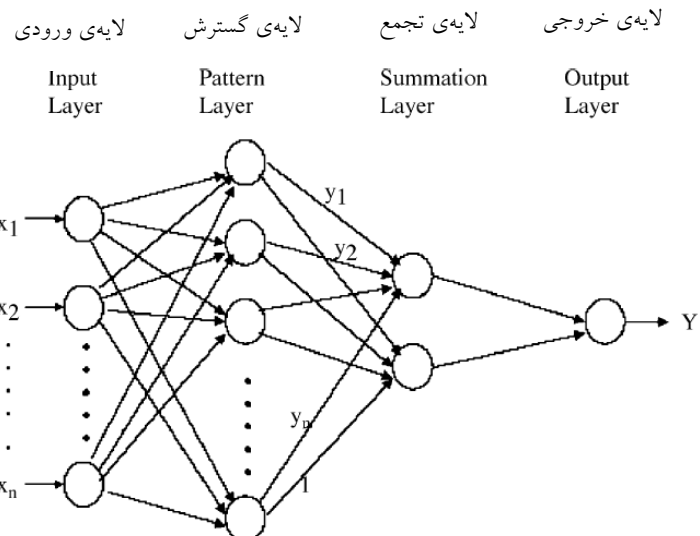
که در آن، معادله‌ی تابع  $\text{pdf}(x, y)$  یک تابع

<sup>1</sup> Validation

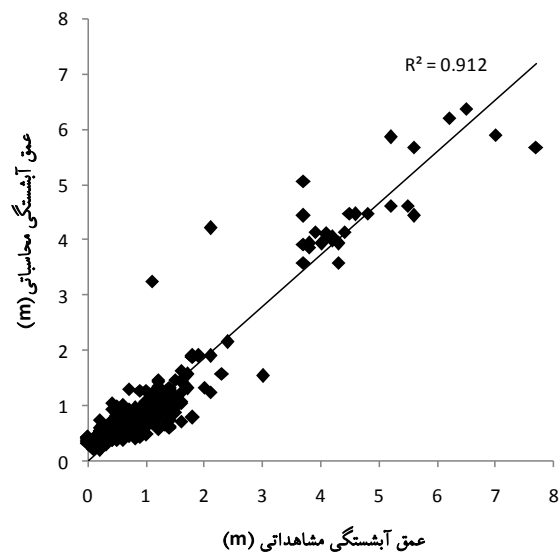
<sup>2</sup> General Regression Neural Network

ورودی در شکل (۱) نشان داده شده است.

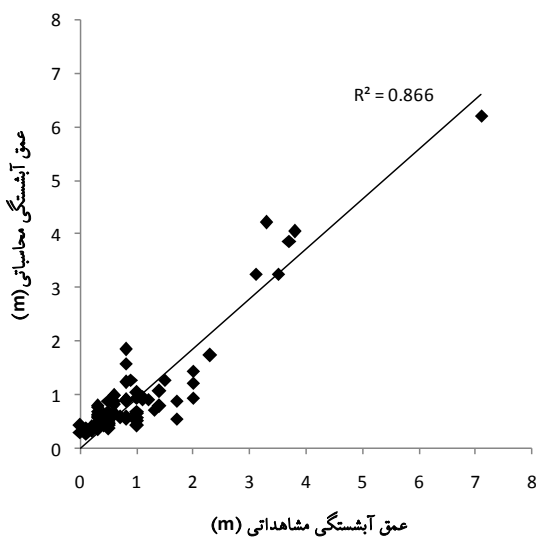
این معماری برای یک تابع تک خروجی و  $n$  متغیر



شکل ۱- ساختار شبکه‌ی عصبی وایازی کلی.



شکل ۲- مقایسه‌ی همبستگی بین نتایج شبیه GRNN و مقادیر واقعی ژرفای آبستگی در مرحله‌ی آموزش.



شکل ۳- مقایسه‌ی همبستگی بین نتایج شبیه GRNN و مقادیر واقعی ژرفای آبستگی در مرحله‌ی صحت‌سنجی.

براین اساس، تابع تنظیم‌کننده‌ی وزنه‌را می‌توان به صورت زیر بازنویسی کرد (هاگان و منهاج، ۱۹۹۴):

$$w(k+1) = w(k) - [J^T(k)J(k)]^{-1} \times J^T(k)e(k) \quad (8)$$

روش آموزش Momentum در حقیقت اصلاح شده‌ی روش کاهش شیب<sup>۱</sup> بوده که در آن فراسنج حافظه به گونه‌ای تغییر یافته است تا رسیدن به همگرایی پایدار را سرعت بخشد. در روشن آموزش Momentum، معادله‌ای که جهت به هنگام کردن وزنه‌ها به کار می‌رود به صورت زیر است:

$$w_{ij}(k+1) = w_{ij}(k) + \eta \delta_i(k)x_j(k) + \alpha(w_{ij}(k) - w_{ij}(k-1)) \quad (9)$$

که در آن  $\alpha$  ضریب اندازه‌ی حرکت می‌باشد. معمولاً مقدار  $\alpha$  بین  $0.01$  تا  $0.09$  تغییر می‌کند.  $\eta$  نرخ یادگیری و  $\delta$  به عنوان میزان مسؤولیت نزون در بروجود آوردن خطای باشد.

جهت آغاز فرایند یادگیری، لازم است مقادیر اولیه جهت هر کدام از وزنه‌ها در نظر گرفته شده و فرایند تا زمانی که شرایط توقف آموزش ارضاء گردد، ادامه یابد. سه معیاری که اغلب جهت توقف فرایند آموزش به کار می‌روند، عبارتند از: شمار تکرارها، میانگین مربعات خطای

### الگوریتم‌های آموزشی

در این پژوهش از دو الگوریتم مشهور، که کاربرد گسترده‌ای در زمینه‌های مختلف دارند، استفاده شده است. این دو الگوریتم شامل Levenberg-Marquardt و اندازه حرکت (Momentum) می‌باشند. از آنجا که الگوریتم Levenberg-Marquardt دقیق و سرعت فرایند آموزش را افزایش می‌دهد، محبوبیت بیشتری پیدا کرده است. در این الگوریتم وزن اجزاء شبکه‌ی را می‌توان از طریق رابطه‌ی زیر به دست آورد:

$$w(k+1) = w(k) - H^{-1}(k)g(k) \quad (4)$$

که در آن  $w(k)$  وزن اجزاء شبکه‌ی در تکرار  $k$  ام بوده و ماتریس  $H^{-1}(k)$  نشان‌دهنده‌ی معکوس ماتریس Hessian می‌باشد. بردار  $(k)g$  نماینده‌ی شیب تابع فعال‌ساز می‌باشد. ماتریس Hessian را می‌توان از طریق رابطه‌ی زیر تخمین زد:

$$H \approx J^T J \quad (5)$$

که در آن  $J$  ماتریس ژاکوبی بوده و شیب تابع فعال‌ساز را می‌توان از طریق رابطه‌ی زیر برآورد نمود:

$$g = \frac{\partial E}{\partial w} = J^T e. \quad (6)$$

که در آن  $e$  بردار خطای بوده و از رابطه‌ی زیر قابل محاسبه است:

$$e = y - o \quad (7)$$

<sup>1</sup> -straight gradient descent

فراسنجهای بعد دار در برآورد میزان ژرفای آبشنستگی اطراف پایه‌های پل از دقت بهتری نسبت به متغیرهای بی بعد برخوردار می‌باشند. بر همین اساس در این پژوهش از متغیرهای بعد دار به عنوان متغیرهای ورودی جهت ارائه به شبیه‌های عصبی استفاده شد.

### روش پژوهش

در این پژوهش از دو شبیه‌شبکه‌ی عصبی وایازی کلی و شبکه‌ی پرسپترون چند لایه استفاده شده است. تعیین تعداد نرونها در لایه‌های ورودی و خروجی ساده بوده، همچنان که به‌وسیله‌ی متغیرهای ورودی و خروجی به شبیه القاء می‌شود. اما تعیین تعداد لایه‌های پنهان و نرونها آنها به سادگی امکان‌پذیر نیست. در بیشتر مطالعات گذشته از روش آزمون و لغرنش برای تعیین تعداد نرونها و لایه‌های پنهان استفاده شده است. در این پژوهش از آن جا که دو شبیه GRNN و MLP، و دوتابع فعال-ساز Tanh و Sigmoid به کار رفته‌اند، نیز از دو روش Levenberg-Marquardt و Momentum آموزش استفاده شده است، شمار اجرای شبیه‌های مختلف زیاد بود. بر این اساس، و با توجه به مطالعات صورت گرفته در گذشته، تعداد لایه‌های مخفی برابر با ۱ در نظر گرفته شد، هر چند تعدادی از شبیه‌ها با ۲ لایه‌ی پنهان اجرا شدند، دقت آنها تغییر محسوسی نداشتند و تنها مدت زمان اجرای شبیه را افزایش دادند. در این پژوهش از الگوریتم ژنتیک جهت تعیین شمار نرونها لایه‌ی پنهان بهره‌وری شده است. جهت تعیین کارآیی شبیه‌های شبکه‌ی عصبی از معیارهای متفاوتی استفاده می‌گردد که سه معیار از آنها بیشترین کاربرد را دارند. این سه معیار عبارتند از: خطای مبه‌وسیله‌ی مطلق (MAE)<sup>۱</sup>، جذر میانگین مربعات خطای (RMSE)<sup>۲</sup> و ضریب همبستگی (R<sup>2</sup>)<sup>۳</sup>.

$$MAE = \frac{1}{N} \sum_{i=1}^N |O_i - t_i| \quad (13)$$

$$RMSE = \sqrt{\frac{1}{N} \sum_{i=1}^N (O_i - t_i)^2} \quad (14)$$

داده‌های آموزش، و میانگین مربعات خطای داده‌های آزمون. در بین سه معیار فوق، خطای مربوط به داده‌های آزمون کاربرد بیشتری دارد، زیرا فرایند آموزش را در نقطه‌ی بهینه (نقطه‌ای که در آن خطای داده‌های آزمون به کمترین مقدار خود می‌رسد) متوقف می‌سازد.

### انتخاب فراسنجهای

ژرفای نهایی آبشنستگی اطراف پایه‌های پل تابعی از مشخصات جریان، تهنشستهای بستر و مشخصات پایه می‌باشد (ملویل و کلمن، ۲۰۰۰).

(10)

$$d_s = f \left( \rho, v, V, y, g, d_{50}, \sigma, \rho_s, V_c, B, Sh, \alpha \right)$$

در رابطه‌ی فوق  $d_s$  = ژرفای آبشنستگی نهایی،  $\rho$  = چگالی و گرانبروی جنبشی جریان،  $V$  = سرعت متوسط جریان نزدیک شونده،  $y$  = ژرفای جریان،  $g$  = شتاب ثقل،  $d_{50}$  و  $\sigma$  = به ترتیب اندازه‌ی متوسط و انحراف هندسی معیار ذرات رسوبی بستر،  $\rho_s$  = چگالی تهنشستهای سرعت بحرانی متوسط جهت آستانه‌ی حرکت تهنشستهای بستر،  $B$  = عرض یا قطر پایه،  $Sh$  و  $\alpha$  = فراسنجهایی جهت معرفی شکل و نحوه قرارگیری پایه نسبت به جریان می‌باشند. در این پژوهش از آن جا که  $\rho$ ،  $v$  و  $\rho_s$  در تمامی داده‌های مورد استفاده اعداد ثابتی بوده‌اند، حذف گردیدند. متغیر  $V_c$  نیز یک متغیر مستقل نبوده، بلکه می‌توان آن را به صورت زیر نوشت (مولر و واگنر، ۲۰۰۵):

$$V_c = 31.08 \theta^{1/2} y^{1/6} D_{50}^{1/3} \quad (11)$$

$\theta$  = فراسنج شیلدز بوده و خود نیز تابعی است از اندازه‌ی ذرات. بر این اساس  $V_c$  تابعی است از مشخصات جریان و رسوب که خود جزء متغیرهای ورودی به حساب می‌آیند. بر این اساس در شبیه‌های مورد استفاده ژرفای آبشنستگی به صورت تابعی از متغیرهای زیر معرفی شد:

$$d_s = f (V, y, d_{50}, \sigma, B, Sh, \alpha) \quad (12)$$

بدین ترتیب، کل متغیرهای ورودی به هفت فراسنج کاهش یافته‌ند. متغیر خروجی نیز ژرفای آبشنستگی در نظر گرفته شد. گرچه می‌توان از متغیرهای بی بعد و یا متغیرهای بعد دار جهت معرفی فراسنجهای ورودی بهره برد، ولی براساس نتایج پژوهشات گذشته (باتنی و همکاران، ۲۰۰۷) و (فیرات و گنگور، ۲۰۰۹)، استفاده از

<sup>1</sup>- mean-absolute error

<sup>2</sup>- root mean square error

<sup>3</sup>- determination coefficient

مرحله‌ی صحت‌سنگی متغیر بوده است. نتایج تحلیل‌های آماری صورت گرفته برای شبیه‌های مختلف در جدول (۱) ارائه شده‌اند. بر این اساس شبیه GRNN به عنوان شبیه مناسب جهت برآورد بیشترین ژرفای آبشنستگی در اطراف پایه‌های پل انتخاب شد. شکل‌های (۲) و (۳) نیز نشان‌دهنده‌ی نتایج حاصل از آموزش و صحت‌سنگی مربوط به شبیه GRNN می‌باشند.

### مقایسه نتایج شبیه عصبی با معادلات موجود در زمینه‌ی برآورد ژرفای آبشنستگی

برای برآورد دقت شبیه‌های عصبی به کار رفته در این پژوهش، در تخمین ژرفای آبشنستگی از شماری معادله‌ی موجود جهت برآورد ژرفای آبشنستگی در اطراف پایه‌های پل استفاده شده است. معادلات مورد استفاده در این پژوهش عبارت بودند از: معادله‌ی لارسن و تاج (۱۹۵۶)، شن (۱۹۷۱)، بروزرس و همکاران (۱۹۷۷)، فروهليچ (۱۹۹۵)، ملویل (۱۹۹۷) و ملویل و چيو (۱۹۹۹). نتایج روابط معرفی شده با توجه به همان داده‌های به کار رفته در شبیه‌های عصبی در جدول (۲) ارائه شده‌اند. با توجه به تحلیل‌های صورت گرفته، معادله فروهليچ (۱۹۹۵) از دقت بهتری نسبت به بقیه‌ی روابط برخوردار بود. شکل (۴) نشان‌دهنده‌ی نتایج حاصل از این معادله در مقابل مقادیر مشاهداتی می‌باشد.

در مقایسه‌ای که بین نتایج حاصل از شبیه GRNN و معادله‌ی فروهليچ (۱۹۹۵) صورت گرفت (جدول ۱ و ۲)، مشخص شد که شبیه GRNN می‌تواند با دقت بهتری نسبت به معادله، فروهليچ (۱۹۹۵) اندازه‌ی ژرفای آبشنستگی را در اطراف پایه‌های پل شبیه‌سازی کند، به طوری که مقدار RMSE و MAE برای شبیه GRNN به ترتیب برابر با  $0/246$  و  $0/322$  بود، در حالی که این مقادیر معادله فروهليچ  $0/432$  و  $0/649$  می‌باشند. ضریب  $R^2$  نیز در شبیه عصبی بهتر از معادله فروهليچ بود.

$$R^2 = 1 - \frac{\sum_{i=1}^N (O_i - t_i)^2}{\sum_{i=1}^N (O_i - \bar{O}_i)^2} \quad (15)$$

در روابط فوق  $O_i$  و  $t_i$  به ترتیب مقادیر واقعی و خروجی شبکه و  $\bar{O}_i$  به وسیله‌ی مقادیر واقعی، و  $N$  تعداد کل داده‌ها می‌باشند. آموزش شبیه‌های شبکه‌ی عصبی زمانی که خطای قابل قبولی به دست می‌آمد، و یا این که تعداد تکرارها از مقدار بیشترین ( $= 1000$ ) تجاوز می‌کرد، خاتمه می‌یافتد. بهترین شبیه، شبیه‌ی است که مقادیر RMSE و  $R^2$  کمتری داشته و مقدار  $R^2$  به یک نزدیکتر باشد.

اطلاعات مورد استفاده به وسیله‌ی سازمان FHWA<sup>۱</sup> ارائه شده و مربوط به پلهای موجود در ایالات متحده می‌باشند. از آن جا که کلیه‌ی اطلاعات مورد استفاده، داده‌های واقعی بوده، و بازه‌ی وسیعی از شرایط هیدرولیکی و رسوبی را شامل می‌شوند، می‌توان از شبیه‌های ارائه شده جهت موارد کاربردی نیز بهره جست. این اطلاعات جمعاً شامل ۴۷۵ داده بوده که ۳۰۹ داده‌ی آن جهت آموزش شبیه‌های عصبی، ۷۲ داده به عنوان مجموعه‌ی آزمون و ۹۴ داده باقیمانده برای صحت‌سنگی شبیه‌های مختلف به کار رفته‌ند.

### نتایج شبیه‌های عصبی

شبیه‌های پرسپترون طی آموزش دارای متغیر از  $0/483$  تا  $0/339$  بوده‌اند، در حالی که این مقدار طی مرحله صحت‌سنگی کمی افزایش یافته‌ند ( $0/403$  تا  $0/704$ ). شبیه GRNN نسبت به شبیه‌های پرسپترون از RMSE کمتری برخوردار بود ( $0/271$ ) در مرحله‌ی آموزش و  $0/322$  در مرحله‌ی صحت‌سنگی. از نظر همبستگی بین نتایج شبیه‌های مختلف و مقادیر مشاهداتی، در بین توابع فعال‌ساز تفاوت معنی‌داری مشاهده نشد، ولی الگوریتم آموزشی Levenberg-Marquardt دقت بهتری نسبت به الگوریتم Momentum را از خود نشان داد. شبیه GRNN دارای  $R^2$  بهتری نسبت به شبیه‌های پرسپترون بوده، که مقدار  $R^2$  آن برابر با  $0/912$  در مرحله‌ی آموزش و  $0/866$  در

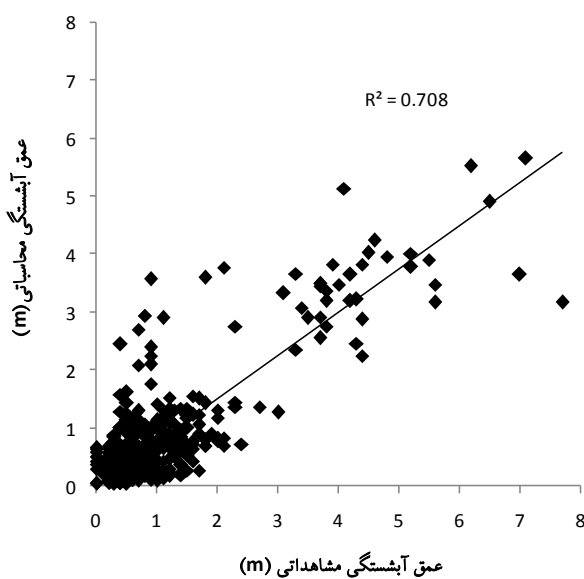
<sup>۱</sup>-Federal Highway Administration

جدول ۱- محاسبه مقادیر خطأ و همبستگی شبیه‌های مختلف عصبی

$R^2$		RMSE		MAE		نرونهای پنهان	روش یادگیری	تابع فعالساز	نوع شبکه	مدل
Test	Train	Test	Train	Test	Train					
۰/۸۶۵	۰/۹۲۶	۰/۴۰۳	۰/۳۳۹	۰/۲۸۳	۰/۲۶۰	۱۵	Tanh	L.M	MLP	TL1
۰/۸۳۹	۰/۸۷۸	۰/۴۱۸	۰/۴۲۶	۰/۲۸۴	۰/۳۰۷	۲۵	Tanh	Momentum	MLP	TM1
۰/۸۳۴	۰/۹۲۰	۰/۴۲۸	۰/۳۴۶	۰/۲۸۲	۰/۲۵۵	۶	Sigmoid	L.M	MLP	SL1
۰/۷۰۱	۰/۷۱۷	۰/۷۰۴	۰/۴۸۳	۰/۳۶۶	۰/۴۷۷	۲۵	Sigmoid	Momentum	MLP	SM1
۰/۸۶۶	۰/۹۱۲	۰/۳۲۲	۰/۲۷۱	۰/۲۴۶	۰/۲۰۲	-	-	-	GRNN	GRN

جدول ۲- محاسبه مقادیر خطأ و همبستگی معادلات مختلف

ضریب همبستگی ( $R^2$ )	خطا		معادلات موجود
	RMSE	MAE	
۰/۶۲۱	۱/۹۱۲	۱/۵۰۹	لارسن و تاج (۱۹۵۶)
۰/۵۲۱	۱/۰۶۸	۰/۷۸۵	شن (۱۹۷۱)
۰/۶۲۲	۱۴/۶۱۱	۶/۹۷۸	بروزرس و همکاران (۱۹۷۷)
۰/۷۰۸	۰/۶۴۹	۰/۴۳۲	فروهیچ (۱۹۹۵)
۰/۵۳۲	۲/۹۴۷	۲/۲۴۲	ملویل (۱۹۹۷)
۰/۵۴۳	۲/۸۰۱	۲/۱۲۷	ملویل و چیو (۱۹۹۹)



شکل ۴- مقایسه همبستگی بین نتایج شبیه فروهیچ (۱۹۹۵) و مقادیر واقعی ژرفای آبستگی در مرحله صحت‌سنجی.

متغیرهای ورودی حذف شد و شبیه عصبی با در نظر گرفتن بقیه فراسنجهای ورودی اجرا گردید. پس از آن، تحلیلهای آماری برای نتایج به دست آمده انجام شد. نتایج این تحلیل در جدول (۳) ارائه شده‌اند. با توجه به این

### تحلیل حساسیت

تحلیل حساسیت جهت تعیین اثر نسبی هر کدام از متغیرهای ورودی بر ژرفای آبستگی اطراف پایه‌های پل صورت گرفت، بدین ترتیب که در هر مرحله یکی از

آبشنستگی برخوردار بودند. زاویه قرارگیری پایه نیز نسبت به دیگر فراسنجهای اثر کمتری بر ژرفای آبشنستگی اطراف پایه‌های پل دارد.

جدول، فراسنچ سرعت بیشترین تأثیر را بر اندازه‌ی ژرفای آبشنستگی دارا می‌باشد. پس از سرعت، مشخصات ته‌نشستها از قبیل  $D_{50}$  و  $\sigma$  از تأثیر بیشتری بر ژرفای

جدول ۳- تحلیل حساسیت شبیه GRNN.

ضریب همبستگی (R <sup>2</sup> )	خطاهای		مدل
	RMSE	MAE	
۰/۸۰۰	۰/۴۵۷	۰/۳۰۶	GRNN no Shape
۰/۷۷۴	۰/۴۸۱	۰/۳۲۹	GRNN no Width
۰/۸۱۵	۰/۴۳۹	۰/۲۹۷	GRNN no Skew
۰/۶۷۶	۰/۶۴۶	۰/۳۶۴	GRNN no Velocity
۰/۷۶۰	۰/۵۰۰	۰/۳۳۵	GRNN no Depth
۰/۶۷۱	۰/۶۱۷	۰/۳۴۱	GRNN no $D_{50}$ & $\sigma$

### منابع

1. پیکتن، فیلیپ. شبکه‌های عصبی. ترجمه تقی زاده کاخکی ح، و میرصالحی م، انتشارات دانشگاه فردوسی، مشهد، ۱۳۸۸.
2. Bateni, S.M., Jeng, D.S and Melville , B.W. 2007. Bayesian neural networks for prediction of equilibrium and time-dependent scour depth around bridge piers. *Adv Eng Software* 38:102-111.
3. Breusers, H. N. C., Nicollet, G, and Shen, H. W. 1977. Local scour around cylindrical piers. *J. Hydro. Res.*, (Delft), 15:211-252.
4. Firat, M. and Gungor, M. 2009 Generalized regression neural networks and feed forward neural networks for prediction of scour depth around bridge piers. *Adv in Eng Software* 40:731-737.
5. Froehlich, D.C. 1995. Contraction scours at bridgesclear water conditions with armoring, in Water Resources Research: San Antonio, TX, Am Soc of Civ Eng. 981-985.
6. Laursen, E.M. and Toch, A. 1956 Scour around bridge piers and abutm-

### نتایج

در این پژوهش جهت برآورد ژرفای آبشنستگی در اطراف پایه‌های پل از شبکه‌های وایازی کلی، پرسپترون Levenberg- چند لایه، و الگوریتم های فرآگیری- Momentum و Marquardt استفاده شد. در این پژوهش، علاوه بر متغیرهای متداول در پژوهش‌های گذشته، شکل پایه نیز به عنوان متغیر ورودی به شبکه‌های مورد استفاده معرفی گردید. جهت تعیین تعداد نرون‌های لایه‌ی پنهان نیز از الگوریتم ژنتیک استفاده شد. با توجه به معیارهای آماری مورد استفاده مشخص گردید که شبکه‌ی وایازی کلی از دقت بیشتری نسبت به شبکه‌های پرسپترون چند لایه برخوردار است. از دیگر مزایای این شبکه، سرعت در اجرای شبیه بود. جهت ارزیابی عملکرد شبکه‌های عصبی از شماری معادله‌ی موجود جهت برآورد ژرفای آبشنستگی اطراف پایه‌های پل استفاده شد. مقایسه‌ی نتایج این روابط و شبکه‌های عصبی نشان‌دهنده‌ی دقت بیشتر شبکه‌های عصبی بوده است. در تحلیل حساسیت انجام شده نیز مشخص شد که فراسنچ سرعت نزدیک شونده بیشترین تأثیر، و زاویه قرارگیری پایه کمترین تأثیر را بر ژرفای آبشنستگی دارا می‌باشد.

18. Sheppard, D.M., Odeh, M. and Glasser, T. 2004. Large scale clear-water local pier scour experiments. *J. Hydraul. Eng.* 130 10: 957–963.
19. Specht, D.F. 1991. A generalized regression neural network. *IEEE Trans Neural Networks* 2: 568-576.
- ents. Bulletin No.4, Iowa Highways Research Board, Ames, Iowa, U.S.A.
7. Lim, SY. and Cheng, NS. 1998. Prediction of live-bed scour at bridge abutments. *J. Hydraul. Eng.* 124:635–642.
8. Hagan, M. T., and Menhaj, M. B. 1994. Training feed-forward networks with the Marquardt algorithm. *IEEE Trans. Neural Networks*. 5 6: 989-993.
9. Melville, BW. and Sutherland, AJ. . 1988. Design method for local scour at bridge piers. *J. Hydraul. Eng.* 114 10:1210–1226.
10. Melville, BW. and Raudkivi, A.J. 1996. Effects of foundation geometry on bridge pier scour. *J. Hydraul. Eng.* 122:203–209.
11. Melville, B. W. 1997. Pier and abutment scour: Integrated approach. *J. Hydraul. Eng.* 123 2:125–136.
12. Melville, B. W., and Chiew, Y. M. 1999. Time scale for local scour at bridge piers. *J. Hydraul. Eng.* 125 1: 59–65.
13. Melville, B.W., and Coleman, S.E. .2000. Bridge scour. Water Resources Publications, Littleton, Co.
14. Mia, F, and Nago, H. 2003. Design method of time-dependent local scour at circular bridge pier. *J. Hydraul. Eng.* 129 6:420–427.
15. Mueller, D. S., and Wagner, C. R. 2005. Field observations and evaluations of streambed scour at bridges. Report No. FHWA-RD-03-052, U.S. Department of Transportation, Federal Highway Admin., McLean, Va.
16. Parola, A.C., Mahavadi, S.K., Brown, B.M. and ElKhoury, A.. 1996. Effect of rectangular foundation geometry on local pier scour. *J. Hydraul. Eng.* 122: 35–40.
17. Shen, H. W. 1971. *River Mechanics*. Vol. 2, Ft. Collins, Colorado, USA.